

А. И. Рахимов,\* Р. Б. Шульман, Р. Г. Федунов<sup>a</sup>

МЕХАНИЗМ ОКИСЛЕНИЯ  
6-МЕТИЛ-2,4-ДИОКСОПИРИМИДИНА ОКСИДОМ СЕЛЕНА  
И СЕЛЕНИСТОЙ КИСЛОТОЙ

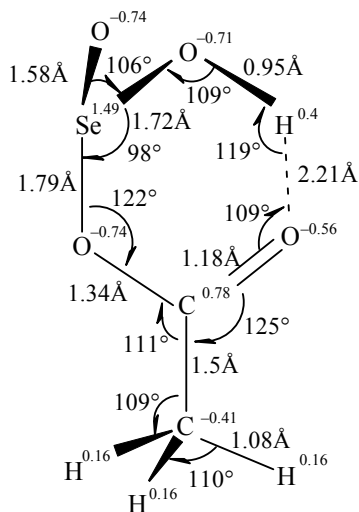
Квантово-химическим методом *ab initio* в базисе 6-31G\*\* проведен анализ механизма окисления 6-метил-2,4-диоксопиримидина оксидом селена и селенистой кислотой с образованием оротового альдегида. Смешанный ангидрид уксусной и селенистой кислот образуется с выигрышем энергии. Он обладает большей активностью и пространственной доступностью при электрофильной атаке положения 5 пиримидинового цикла. Проанализирован трехстадийный механизм окисления метильной группы в 6-метилурациле смешанным ангидридом селенистой и уксусной кислот.

**Ключевые слова:** диоксид селена, 6-метилурацил, оротовый альдегид, селенистая кислота.

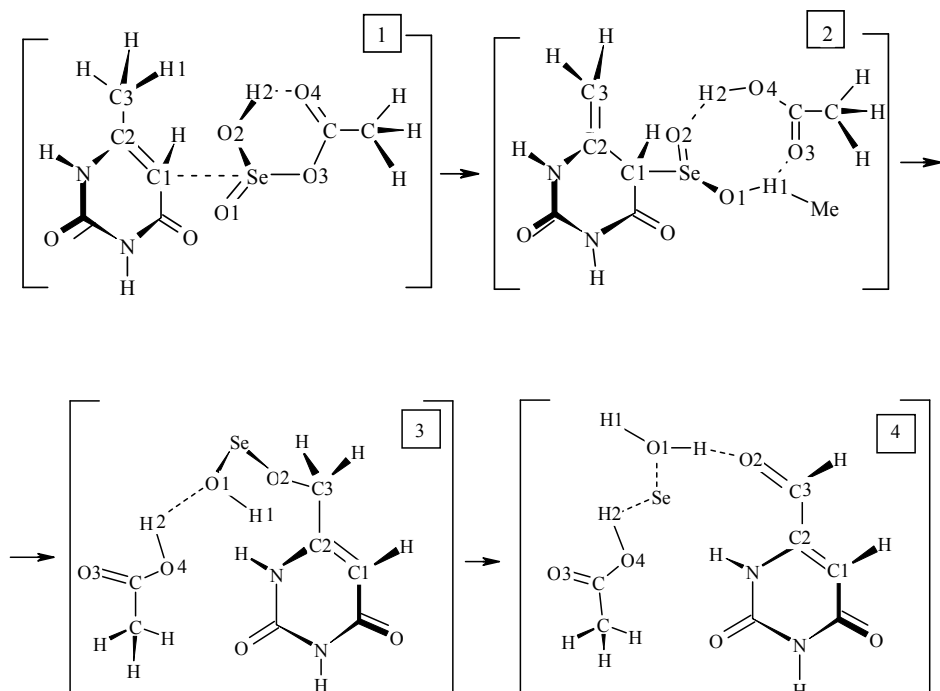
В настоящей работе проведено квантово-химическое исследование механизма окисления 6-метил-2,4-диоксопиримидина (6-метилурацила) оксидом селена и селенистой кислотой в уксусной кислоте с образованием оротового альдегида. Расчеты производились методом *ab initio* в базисе 6-31G\*\* [1].

Как нами установлено ранее [2], окисление 6-метилурацила селенистой кислотой в среде уксусной кислоты, в отличие от использования в тех же условиях оксида селена, позволяет значительно уменьшить количество уксусной кислоты и повысить выход оротового альдегида. Реакция в обоих случаях идет по одному и тому же механизму: через стадию образования смешанного ангидрида уксусной и селенистой кислот [3], что также согласуется с результатом работы [4], в которой предполагается промежуточное образование селенистой кислоты в процессе окисления 6-метилурацила диоксидом селена.

При анализе процесса образования смешанного ангидрида уксусной и селенистой кислот как одной из стадий реакции окисления 6-метил-2,4-диоксопиримидина оксидом селена и селенистой кислотой в уксусной кислоте, оказалось, что для  $\text{SeO}_2$  выигрыш энергии составляет 5.5 ккал/моль, а для  $\text{H}_2\text{SeO}_3$  – около 1 ккал/моль. Образующийся смешанный ангидрид (рис. 1) активнее  $\text{SeO}_2$  и  $\text{H}_2\text{SeO}_3$ .



*Ruc. 1.* Электронное и геометрическое строение смешанного ангидрида селенистой и уксусной кислот (полная энергия  $E_0 = -347994.4$  ккал/моль). Здесь и на рис. 3–5 цифры в верхнем индексе – заряды на атомах



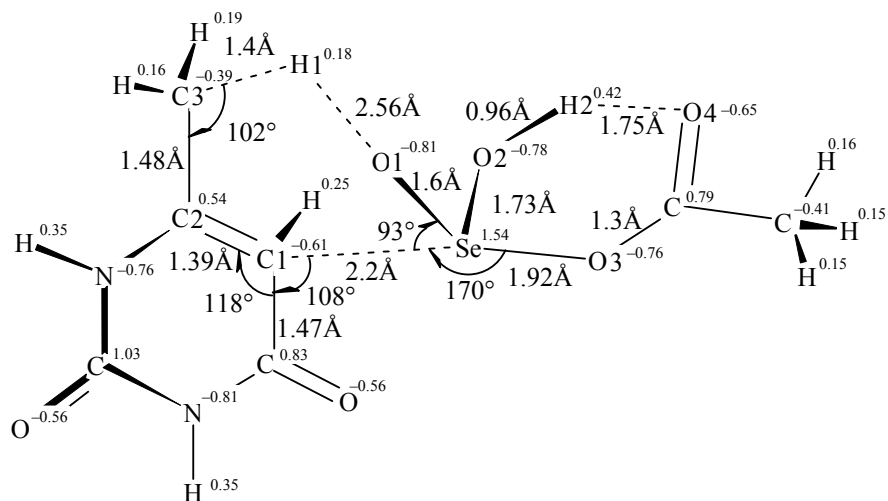
*Ruc. 2.* Схема реакции окисления группы  $\text{CH}_3$  молекулой  $\text{HO}(\text{O})\text{Se}=\text{O}(\text{O})\text{CCH}_3$

Заряд на атоме селена с 1.23 в диокside селена и 1.46 в селенистой  
1828

кислоте в ангидриде увеличивается до 1.49. Кроме того, в отличие от оксида селена и селенистой кислоты атом селена в ангидриде обладает большей пространственной доступностью при электрофильной атаке положения 5 пиrimидинового цикла. Анализ пути реакции ангидрида с 6-метилурацилом выявил следующие стадии процесса окисления метильной группы 6-метилурацила, приведенные на рис. 2.

1. Стадия образования 6-метиленового производного (рис. 3). По мере приближения молекулы селенистого ангидрида (атома селена) к электрофильному атому углерода пиrimидинового основания на расстояние 2.2 Å возникает барьерная точка с энергией активации 47.5 ккал/моль. Заряд на атоме углерода становится еще более отрицательным ( $-0.615$ ), а на атоме селена положительный заряд составляет  $1.541$ . Одновременно наблюдается перенос атома водорода метильной группы к кислороду группы  $\text{Se}=\text{O}$  в ангидриде и синхронный переход атома водорода от группы  $\text{Se}-\text{OH}$  к ацильному радикалу с последующим выделением уксусной кислоты и образованием промежуточной 6-метилен-5-пиrimидин-селенистой кислоты.

2. На второй стадии, идущей с энергией активации около 31.8 ккал/моль, происходит атака атомом кислорода остатка селенистой кислоты, направленная на атом углерода метиленовой группы с образованием переходной структуры (рис. 4). После прохождения перевальной точки, на расстоянии 1.9 Å между атомом углерода группы  $\text{CH}_2$  и атомом кислорода группы  $\text{SeO}_2$  происходит полный разрыв связи углерод–сelen.



*Rис. 3.* Геометрическое и электронное строение переходного комплекса на 1-й стадии реакции

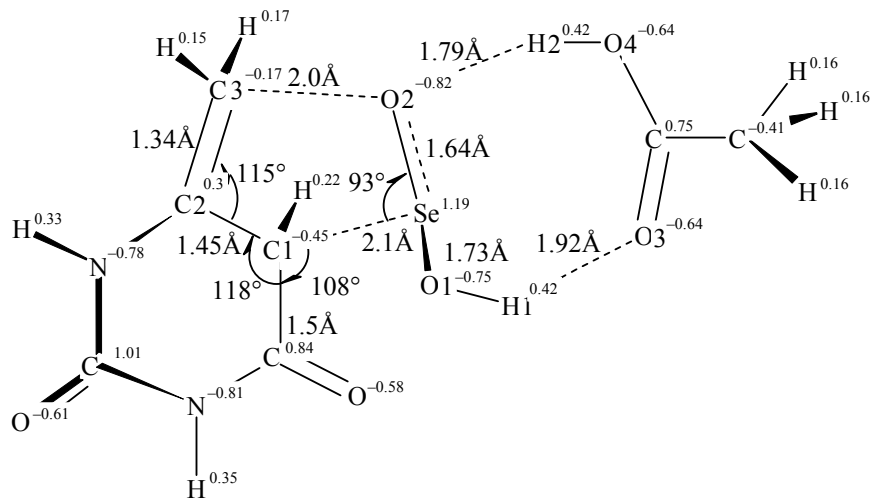


Рис. 4. Геометрическое и электронное строение переходного комплекса на 2-й стадии реакции

3. Завершающая стадия реакции характеризуется барьером относительно исходных реагентов 54 ккал/моль. Структура переходного комплекса обеспечивает приближение группы  $\text{CH}_2$  к группе  $\text{OH}$  с образованием воды и одновременным разрывом связи  $\text{Se}-\text{O}$  и образованием карбонильной (альдегидной) группы. Выделяющаяся молекула воды за счет диполь-

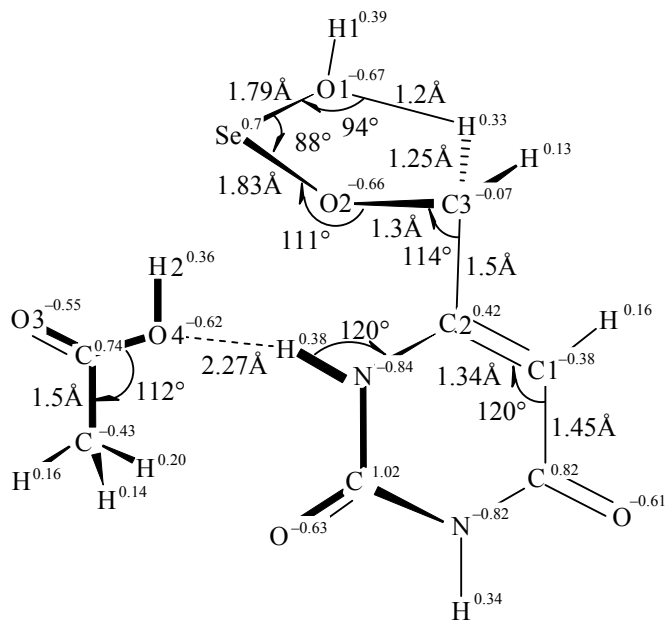
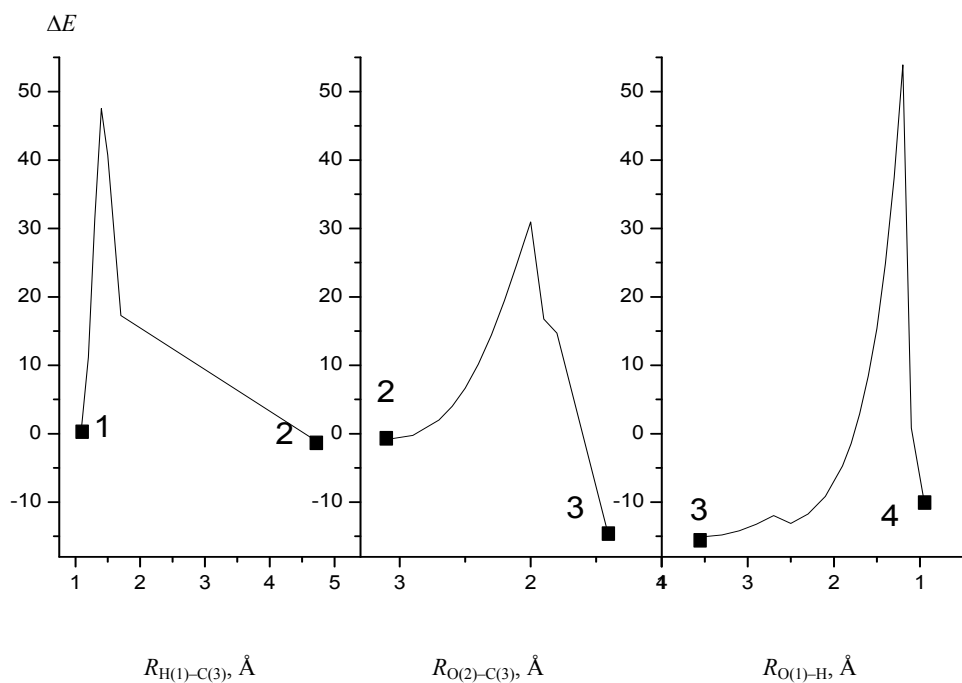


Рис. 5. Геометрическое и электронное строение переходного комплекса на 3-й стадии реакции



*Rus. 6.* Барьер реакции окисления метильной группы молекулой HO(O)Se—O(O)CMe,  
 $\Delta E = E_0(\text{i}) - E_0$  ( $R_{\text{H}(1)-\text{C}(3)} = 1.084$ ), ккал/моль

дипольных взаимодействий с выделяющимся атомом селена, образующимся в результате реакции, и ассоциативного взаимодействия с молекулой оротового альдегида способствует протеканию данной стадии в сторону конечных продуктов реакции (рис. 5).

Полная энергия конечных продуктов реакции ниже суммарной энергии исходных реагентов на 9.4 ккал/моль, что способствует смещению равновесия в сторону продуктов реакции (рис. 6).

Таким образом, окисление 6-метилурацила в оротовый альдегид диоксидом селена и селенистой кислотой в среде уксусной кислоты идет по наиболее вероятному механизму, включающему образование промежуточного ангидрида уксусной и селенистой кислот, обладающего большей реакционной способностью. Данная реакция протекает через стадию электрофильной атаки положения 5 пиридинового цикла с последующим образованием 6-метиленового производного и его дальнейшего внутримолекулярного окисления с образованием Se, оротового альдегида и воды, способствующей разделению конечных продуктов реакции.

#### С П И С О К Л И Т Е Р А Т У Р Ы

1. M. W. Schmidt, K. K. Baldridge, J. A. Boatz, S. T. Elbert, M. S. Gordon, J. H. Jensen, S. Koseki, N. Matsunaga, K. A. Nguyen, S. J. Su, T. L. Windus, M. Dupuis, J. A. Montgomery, *J. Comput. Chem.*, **14**, 1347 (1993).
2. А. И. Рахимов, И. Е. Крюков, Р. Б. Шульман, П. Ю. Синельников, в кн. *Молекулярный дизайн и медикобиологическая активность б-производных урацила*, Сб. науч. тр. РПК "Политехник", Волгоград, 2000, с. 170.
3. Р. Б. Шульман, А. И. Рахимов, в кн. *Синтез и свойства оротового альдегида*, Тез. докл. 37-й науч. конф. "Синтез, фармакология и клинические аспекты новых психотропных и сердечно-сосудистых веществ", Волгоград, 2000, с. 5.
4. E. Nakamura, I. Kuwajima, *J. Am. Chem. Soc.*, **99**, 961 (1977).

Волгоградский государственный  
технический университет,  
Волгоград 400131, Россия  
e-mail: organic@vstu.ru

Поступило 12.07.2007  
После доработки 25.11.2010

<sup>a</sup>Институт химических проблем экологии РАН,  
Волгоград 400005, Россия  
e-mail: rakhimov@sprint-v.com.ru

---